

(19) 日本国特許庁(JP)

(12) 特許公報(B2)

(11) 特許番号

特許第3962598号  
(P3962598)

(45) 発行日 平成19年8月22日(2007.8.22)

(24) 登録日 平成19年5月25日 (2007.5.25)

(51) Int.Cl.

F |

<b>H05B</b>	<b>6/06</b>	<b>(2006.01)</b>	<b>HO5B</b>	<b>6/06</b>	<b>3 3 5</b>
<b>G03G</b>	<b>15/20</b>	<b>(2006.01)</b>	<b>HO5B</b>	<b>6/06</b>	<b>3 5 1</b>
<b>H05B</b>	<b>6/14</b>	<b>(2006.01)</b>	<b>HO5B</b>	<b>6/06</b>	<b>3 6 6</b>
			<b>G03G</b>	<b>15/20</b>	<b>5 0 5</b>
			<b>G03G</b>	<b>15/20</b>	<b>5 5 5</b>

譜求項の数 2 (全 17 頁) 最終頁に続く

(21) 出願番号	特願2002-27175 (P2002-27175)
(22) 出願日	平成14年2月4日 (2002. 2. 4)
(65) 公開番号	特開2003-229239 (P2003-229239A)
(43) 公開日	平成15年8月15日 (2003. 8. 15)
審査請求日	平成16年12月21日 (2004. 12. 21)

(73) 特許権者 000001007  
キヤノン株式会社  
東京都大田区下丸子3丁目30番2号

(74) 代理人 100086818  
弁理士 高梨 幸雄

(72) 発明者 松尾 信平  
東京都大田区下丸子3丁目30番2号 キ  
ヤノン株式会社内

審查官 中村 大輔

最終頁に続く

(54) 【発明の名称】 誘導加熱装置

(57) 【特許請求の範囲】

【請求項1】

発熱体と、前記発熱体に対向配置されている励磁コイルと、商用電源に繋がれており前記励磁コイルへ高周波電力を供給するインバータ電源手段と、前記発熱体の温度に応じて前記インバータ電源手段を駆動する電力制御信号を生成する制御部と、前記インバータ電源手段に流れる電流値を検知する電流検出回路と、前記励磁コイルに供給する最大電力を制限するための回路であり前記電流検出回路からの信号に応じて前記制御部から前記インバータ電源手段に向けて出力される前記電力制御信号を補正する最大電力設定回路と、を有し、第1の商用電源電圧の地域と、第1の商用電源電圧よりも高い第2の商用電源電圧の地域で利用可能な誘導加熱装置であって、第1の商用電源電圧の地域における電源電圧変動幅の最大電圧に対応する安全規格上の供給可能電力上限値が、第2の商用電源電圧の地域における電源電圧変動幅の最小電圧に対応する安全規格上の供給可能電力上限値より高い関係にある二つの地域で利用可能な誘導加熱装置において、

第1の商用電源電圧の地域における電源電圧変動幅の最小電圧に対応する前記誘導加熱装置に対する安全規格上の供給可能電力上限値と、第2の商用電源電圧の地域における電源電圧変動幅の最小電圧に対応する前記誘導加熱装置に対する安全規格上の供給可能電力上限値と、を直線補完するように、前記最大電力設定回路の前記電力制御信号を補正するための帰還定数が設定されていることを特徴とする誘導加熱装置。

【請求項2】

発熱体と、前記発熱体に対向配置されている励磁コイルと、商用電源に繋がれており前

記励磁コイルへ高周波電力を供給するインバータ電源手段と、前記発熱体の温度に応じて前記インバータ電源手段を駆動する電力制御信号を生成する制御部と、前記インバータ電源手段に流れる電流値を検知する電流検出回路と、前記励磁コイルに供給する最大電力を制限するための回路であり前記電流検出回路からの信号に応じて前記制御部から前記インバータ電源手段に向けて出力される前記電力制御信号を補正する最大電力設定回路と、を有し、第1の商用電源電圧の地域と、第1の商用電源電圧よりも高い第2の商用電源電圧の地域で利用可能な誘導加熱装置であって、第1の商用電源電圧の地域における電源電圧変動幅の最大電圧に対応する安全規格上の供給可能電力上限値が、第2の商用電源電圧の地域における電源電圧変動幅の最小電圧に対応する安全規格上の供給可能電力上限値より高い関係にある二つの地域で利用可能な誘導加熱装置において、

10

第1の商用電源電圧の地域における電源電圧変動に応じて変化する前記誘導加熱装置に対する安全規格上の供給可能電力上限値のラインと、第2の商用電源電圧の地域における電源電圧変動に応じて変化する前記誘導加熱装置に対する安全規格上の供給可能電力上限値のラインと、の両方のラインに倣うように前記最大電力設定回路の前記電力制御信号を補正するための帰還定数が設定されていることを特徴とする誘導加熱装置。

#### 【発明の詳細な説明】

##### 【0001】

##### 【発明の属する技術分野】

本発明は、誘導加熱装置に関する。

##### 【0002】

##### 【従来の技術】

従来、商用電源の整流出力をスイッチでON/OFFさせて、励磁コイルに給電して加熱体を所定温度に誘導加熱するインバータ電源を備えた誘導加熱装置においては、加熱体の温度検出値と目標温度との比較結果に基づいて電力制御信号を生成し、この生成した電力制御信号に応じて励磁コイルの通電間隔を加減し、通電電力を調整することにより発熱量を制御し温調制御を行うよう構成されている。

20

##### 【0003】

また、前記構成においては、商用電源電圧を安定化することなく、直接スイッチをON/OFFさせてマクロ的に一定抵抗の負荷に通電するため、入力電力が入力電圧のほぼ二乗に比例して増加する特性となり、前記の温調制御によると、最大供給電力が入力電圧により大幅に変化してしまい、電圧変動範囲の広い商用電源において、立上り時間の変化がハロゲンヒータなどにもまして大きくなる問題があった。

30

##### 【0004】

従って、入力電圧変動による最大供給電力の変化を防ぐため、電源電圧を検出し、基準電圧に対する比較結果に応じて通電間隔を加減する制御を行うことにより、電源電圧の変動によらずほぼ一定の最大供給電力が得られるようにした誘導加熱装置が第1の従来例として特開平9-120221号公報で提案されている。

##### 【0005】

しかしながら、前記電源電圧を検出し、基準電圧に対する比較結果に応じて通電間隔を加減する制御を行う電力制御方式によれば、外部変動要因である電源電圧の変動のみを監視しているため、コールドスタート立ち上げ時のラッシュ電流の抑制など内部要因である負荷変動の影響を補正することができない。

40

##### 【0006】

そこで、負荷に流れる電流も検出し、この検出結果と電源電圧検出手段の検出結果とから供給電力を算定し、最大供給電力を設定する誘導加熱装置が第2の従来例として特開平10-301442号公報で提案されている。

##### 【0007】

##### 【発明が解決しようとする課題】

しかしながら、前記第2の従来例によれば、一次側の回路の電源電圧と電流を同時に検出し、温調制御部の存在する二次側回路に伝達して処理する必要があるため、フォトカプラ

50

やトランジスタなど高価な部品が複数必要となり、コスト高となるという問題があった。

**【0008】**

また、前記第1及び第2の従来例によれば、商用電源電圧範囲に対して常に一定の最大供給電力を設定するため、複数地域に共通して使用可能ならしめる製品にあっては、適用地域の安全規格により図14に示す様に定格電流値に対して使用可能な電流値(1503, 1504)の上限規定が異なるため、それぞれの地域の電圧範囲ごとに使用可能電力(1505, 1507)が異なる問題があり、さらにそれから低圧電源の最大消費電力を引いた誘導加熱装置で使用可能な電力上限ライン(1506, 1508)は図示のように凸凹となる。

**【0009】**

最大電力設定方法によれば、使用可能な電力上限ライン(1506, 1508)の下限ライン(1509)に最大供給電力を設定せざるを得ないため、ウォームアップタイムにとって最も効率の悪い低い電圧条件下の最大電力をすべての電圧範囲で一律に設定してしまう問題があった。

**【0010】**

本発明は、商用電源電圧が異なる地域で利用しても安全規格上の供給可能電力に近い電力を供給してウォームアップタイムを短くすることを課題とする。

**【0011】**

**【課題を解決するための手段】**

本発明は以下の構成を有することを特徴とする誘導加熱装置および加熱定着装置である。

**【0012】**

(1) 発熱体と、前記発熱体に対向配置されている励磁コイルと、商用電源に繋がれており前記励磁コイルへ高周波電力を供給するインバータ電源手段と、前記発熱体の温度に応じて前記インバータ電源手段を駆動する電力制御信号を生成する制御部と、前記インバータ電源手段に流れる電流値を検知する電流検出回路と、前記励磁コイルに供給する最大電力を制限するための回路であり前記電流検出回路からの信号に応じて前記制御部から前記インバータ電源手段に向けて出力される前記電力制御信号を補正する最大電力設定回路と、を有し、第1の商用電源電圧の地域と、第1の商用電源電圧よりも高い第2の商用電源電圧の地域で利用可能な誘導加熱装置であって、第1の商用電源電圧の地域における電源電圧変動幅の最大電圧に対応する安全規格上の供給可能電力上限値が、第2の商用電源電圧の地域における電源電圧変動幅の最小電圧に対応する安全規格上の供給可能電力上限値より高い関係にある二つの地域で利用可能な誘導加熱装置において、第1の商用電源電圧の地域における電源電圧変動幅の最小電圧に対応する前記誘導加熱装置に対する安全規格上の供給可能電力上限値と、第2の商用電源電圧の地域における電源電圧変動幅の最小電圧に対応する前記誘導加熱装置に対する安全規格上の供給可能電力上限値と、を直線補完するように、前記最大電力設定回路の前記電力制御信号を補正するための帰還定数が設定されていることを特徴とする。

**【0013】**

(2) 発熱体と、前記発熱体に対向配置されている励磁コイルと、商用電源に繋がれており前記励磁コイルへ高周波電力を供給するインバータ電源手段と、前記発熱体の温度に応じて前記インバータ電源手段を駆動する電力制御信号を生成する制御部と、前記インバータ電源手段に流れる電流値を検知する電流検出回路と、前記励磁コイルに供給する最大電力を制限するための回路であり前記電流検出回路からの信号に応じて前記制御部から前記インバータ電源手段に向けて出力される前記電力制御信号を補正する最大電力設定回路と、を有し、第1の商用電源電圧の地域と、第1の商用電源電圧よりも高い第2の商用電源電圧の地域で利用可能な誘導加熱装置であって、第1の商用電源電圧の地域における電源電圧変動幅の最大電圧に対応する安全規格上の供給可能電力上限値が、第2の商用電源電圧の地域における電源電圧変動幅の最小電圧に対応する安全規格上の供給可能電力上限値より高い関係にある二つの地域で利用可能な誘導加熱装置において、第1の商用電源電圧の地域における電源電圧変動に応じて変化する前記誘導加熱装置に対する安全規格上の

10

20

30

40

50

供給可能電力上限値のラインと、第2の商用電源電圧の地域における電源電圧変動に応じて变化する前記誘導加熱装置に対する安全規格上の供給可能電力上限値のラインと、の両方のラインに倣うように前記最大電力設定回路の前記電力制御信号を補正するための帰還定数が設定されていることを特徴とする。

【0026】

【発明の実施の形態】

[第1の実施例]

図1は本発明第1の実施例の概略構成を示す説明図、図2は本発明の特徴を最も良く表す最大電力設定回路の回路構成図、図3は本発明第1の実施例における電力制御動作を説明する波形図、図4は本発明第1の実施例における最大電力制限特性を説明する電源電圧 - 出力電力特性のグラフ図、図5は本発明第1の実施例における最大電力制限特性を説明する電力制御入力 - 励磁電流ピーク値のグラフ図、図6は本発明第1の実施例における15A定格コードの場合の供給可能電流上限とその上限電力例の関係を説明する電源電圧 - 電力特性のグラフ図である。 10

【0027】

以後図1に沿って概略構成を説明する。

【0028】

101は一次回路部であり、発振制御部102からの制御パルスに基づいてスイッチをON / OFFさせて、商用電源105を励磁コイル120へ通電するインバータ電源手段を構成している。この一次回路部101の構成を具体的に説明すると、安全ヒューズ106、ラインフィルタ107を介して商用電源105に接続し、過昇温保護の為の安全回路リレー108、109を通じてブリッジダイオード110により全波整流を行い、ノイズ流出防止のためのチョークコイル111及びインピーダンス低減のための平滑コンデンサ112を接続して構成されるインバータ用DC電源回路と、発振制御部102の2相の制御パルスをパルストラns126、125、波形成型回路114、113を介してIGBTよりなるメインスイッチ116とサブスイッチ115のゲートに供給するインバータスイッチ回路より構成される。ここで、IGBTとは、Induced Gate Barrier Transistorの略称であって、日本語では伝導度変調型電界効果トランジスタと称する。普通Pチャンネルタイプが一般的でコレクタ接地PNPトランジスタのベースをPチャンネルMOSトランジスタのドレインで引き抜く回路を同一チップ上に構成し、MOSの高速性とバイポーラトランジスタのドライブ能力と耐圧を実現した素子である。 20

【0029】

117、118はIGBTよりなるメインスイッチ116とサブスイッチ115のボディダイオードであり、図1の様にIGBT内に一体に存在している。メイン共振コンデンサ119はメインスイッチ116に並列に接続され、このメインスイッチ116のOFF時に励磁コイル120とフライバック共振を行う。124はサブ共振コンデンサであり、サブスイッチ115を介して励磁コイル120に並列に接続され、サブスイッチ115のON時に励磁コイル120とフライバック共振を行う。 30

【0030】

前記インバータ構成における電力制御動作を図3の波形図を織り交ぜて説明する。301は電力絞込み動作時における動作波形であり、302はフル動作時における動作波形である。 40

【0031】

発振制御部102により発せられる2相の制御パルスは、入力電圧に応じてON幅を調整せしめた2相発振器VCO(131)により発せられる。2相発振器VCO(131)により発せられる2相の信号は、ドライバ130によりパルストラnsを駆動し、メイン励磁信号138はメインスイッチ116のゲート信号303、307、サブ励磁信号139はサブスイッチ115のゲート信号304、308に対応し、サブスイッチ115のゲート信号はメインスイッチ116のOFF期間にONするように交互に発せられ、またメイ 50

ンスイッチ 116との同時ONを避けるためデッドタイム 314を付加してある。

#### 【0032】

305及び309は前記ゲート信号パターンにおけるメインスイッチ116のコレクタ電流Is1を表し、306及び310はメインスイッチ116のコレクタエミッタ間電圧Vs1を表す。メインスイッチ116がONすると、励磁コイル120に電源電圧VBが掛かり、電源電圧VBを等価インダクタンス121で割った電流勾配で電流がチャージされる。従って、電流ピーク値315、319はメインスイッチのON時間tON1(312)、tON2(317)に比例して変化する。

#### 【0033】

メインスイッチ116がOFFすると、コレクタ電圧Vs1は励磁コイル120にチャージされた電流により、まずメイン共振コンデンサ119をチャージして、コレクタエミッタ間電圧Vs1にフライバック電圧を生じ、さらにサブスイッチ115のボディダイオード117がONする電圧に達すると、さらにサブ共振コンデンサ124をチャージし、サブ共振コンデンサ124の容量とメイン共振コンデンサ119の容量を合わせた容量と励磁コイル120の等価インダクタンス21で決まる時定数で電源電圧VBを中心に電圧共振する。

#### 【0034】

電圧共振のコレクタエミッタ間電圧Vs1下降区間にサブスイッチ115をOFFさせると、励磁コイル120に反転チャージされた電流エネルギーがメイン・サブ両共振コンデンサ119、124への反転チャージから、サブ共振コンデンサ124へ集中させての反転チャージに切り替わり電圧を急激に降下させる。

#### 【0035】

ここで、サブ共振コンデンサ124の容量をメイン共振コンデンサ119の容量に対し十分大きな容量とすることにより、メインスイッチON時間が小さく小振幅時においても確実に0Vまで降下させ、メインスイッチON時におけるソフトスイッチングを行うとともにフライバック共振波形を矩形波状に近づけ、スイッチング周期T1(311)に対し短いOFF時間tOFF1、2(313、318)のままフライバックピーク電圧を抑制し、低い耐圧のIGBTで広い電力調整範囲と大きな最大電力を得ることができる。

#### 【0036】

発熱は、励磁コイル120の印加電圧に比例した磁界により、回転発熱体104に生じた渦電流が発熱体等価抵抗122に流れたときの損失ジュール熱により発生する。103はエンジン制御部であり、CPU135にA/Dコンバータ141とD/Aコンバータ134のインターフェースを接続している。励磁コイル120により加熱された回転発熱体104の温度を検出したサーミスタ123の検出電圧を、A/Dコンバータ141で取り込み、所定の目標温度と比較し、電力制御信号をD/Aコンバータ134を介して発振制御部102に出力して、メインスイッチ116のON時間を加減することにより、励磁電流を調整し発熱電力を制御し温調制御を行う。

#### 【0037】

しかしながら、前記構成では、発熱体等価抵抗122を含む励磁コイル120の負荷特性は、マクロ的に抵抗体としての特性を持つため、商用電源のように電圧が地域により異なり、定格電圧を広く確保しなくてはならないにもかかわらず、図4の401の様に電圧の二乗に比例して入力電力が変化してしまう問題がある。

#### 【0038】

そこで、本発明の特徴を最も良く表す最大電力設定制御手段によれば、図4の403のように制御可能である。

#### 【0039】

最大電力設定動作は、電力制御信号可変範囲の5%~20%の電力制御信号値で行う。このように、電力制御信号可能範囲を5%~20%としたことは、装置の特性により変わり実験値により適当に決める値のため、幅を持たせている。実施例では8ビットデータの16進表現で18H(18H/FFH=9.4%)としている。装置の特性とは、電源電圧

10

20

20

30

40

40

50

範囲の最大にて、定着器のバラツキを含めて定着器の最大許容電力を超えない電力制御値が何%になるかによって変わる。電力設定動作の設定精度が確保できる限り最小の電力となる電力制御値が前記装置の特性に照らして何%になるかで決定する。

#### 【0040】

以下に最大電力設定制御手段について説明する。

#### 【0041】

127はカレントトランスであり、一次側はインバータのDC電源のGNDラインに直列に接続し、2次側に接続したカレントトランス負荷抵抗128により電圧波形に変換して、電流ピーク検出回路129に入力している。電流ピーク検出回路129は励磁コイル120にチャージした電流のピーク値(図3-315、319)を所定時定数でホールドし、最大電力設定回路132に入力する。10

#### 【0042】

最大電力設定回路132は最大電力制御信号137を最大電力リミッタ133に入力し、エンジン制御部103からの電力制御信号136の値を最大電力制御信号137以下に制限してVCO(131)に入力することにより、メインスイッチ116のON時間を規制する。

#### 【0043】

図2は最大電力設定回路132と最大電力リミッタ133の回路の詳細構成図であり、本図を用いて最大電力設定機能を説明する。

#### 【0044】

202は電流ピーク検出回路129からのピーク電流検出信号140を入力する入力抵抗であり、オペアンプ203のマイナス入力に接続している。208は帰還抵抗であり、オペアンプ203の出力からマイナス入力に接続され、入力抵抗202との比により反転増幅回路のゲインを決定する。帰還コンデンサ205はローパスフィルタ、コンデンサ206と抵抗207は位相補償回路であり、電源周波数以上の電圧変動には応答しないように反転増幅回路の機能を限定している。204は基準電圧であり、ピーク電流検出信号140と比較してその誤差信号を反転増幅回路により増幅し、最大電力制御信号として最大電力リミッタ回路133に入力している。20

#### 【0045】

次に最大電力リミッタ回路133を説明する。

#### 【0046】

201は入力抵抗であり、電力制御信号136を入力し、入力トランジスタ209のベースに接続している。電力制御信号136は入力トランジスタ209のベースエミッタ間電圧VBe分上昇し、次段出力トランジスタ210のベースに入力する。この出力トランジスタ210の出力はエミッタから出力されているため、ベースに入力されたベースエミッタ間電圧VBe分上昇した電力制御信号136は、再び出力トランジスタ210のベースエミッタ間電圧VBe分下降し、元の電圧制御信号が再現される。

#### 【0047】

ここで、出力トランジスタ210のコレクタは最大電力制御信号を入力してバイアスされているため、それ以上の電圧が出力されることはない。これらのリミッタ動作により電圧制御信号136は最大電力制御信号137以下に制限される。30

#### 【0048】

以上説明した様に、カレントトランス127に流れた励磁電流のピーク値と予め定めたピーク値を基準電圧により設定し、観測ピーク電流値の基準ピーク電流値からの差分量に所定ゲインを乗じた値に制限することにより、電力制御入力を減じ、電源電圧上昇に対する励磁電流の増加を意図的特性に制御せしめたものである。

#### 【0049】

即ち、図4、図5に示すように、基準ピーク電流値を、動作電圧の下限値(405)での所望出力電力より設定し(507)、上限電圧との間にある供給可能電力上限値(404)から電圧に対する電力勾配(402)を決定し、上限電圧時の所望出力電力とその時の

10

30

40

50

ピーク電流値及び必要電力制御電圧値(504)から最大電力設定回路132における反転増幅回路のゲイン(508)を決定したものである。

これを式で表すと

基準ピーク電流値 = 下限電圧ピーク電流値とした場合

下限電圧電力制御入力 = 電力制御入力最大値

ゲイン(帰還抵抗208 / 入力抵抗202) = (下限電圧電力制御入力 - 上限電圧電力制御入力) / (上限電圧ピーク電流値 - 基準ピーク電流値)

で表される。

#### 【0050】

これらの構成により、電力制御入力に対する励磁電流ピーク値の応答を、各電源電圧で501、502、503の様に如何なる電力制御入力に対してもメインスイッチのオン時間を制限せしめたものである。 10

#### 【0051】

図6は、本発明第1の実施例における15A定格コードの場合の供給可能電流上限とその上限電力例の関係を説明する電力制御入力・電力特性のグラフ図であり、前記方法で設定した図4及び図5の制御特性と対比させて説明する。この図6のグラフ1501にあるように、仕向け先の安全規格により、定格表示に対して使用可能な電流値が異なる。1503は日本国内、1504はULの動作電圧範囲と供給可能電流上限値である。これを電力に書き換えると、1502のグラフにあるように日本国内1505、UL1507のラインが電源電圧に対する上限電力となる。さらに低圧電源の最大消費電力を差し引き定着に使用可能な上限電力は、日本国内1506、UL1508のラインとなる(本実施例での力率は100%とする。)。ここで、ULとは、Under Laboratoryの略称であって、アメリカの保険会社が協力して設立した電気製品の安全を確保するために設立した民間の公共団体である。信用は絶大で民間組織であるにも関わらずULの安全規格を満たさないと実質北米での販売はできません。 20

#### 【0052】

従って、双方の仕向け先に対応させた最大電力設定はJPの動作下限電圧(1506のラインの最小電圧)を90Vとし、ULの動作下限電圧(1508のラインの最小電圧)を108Vとし、前記式から最大電力設定回路132の反転増幅回路のゲイン(図2の抵抗202と抵抗208)を決定し、601の最大電力設定ラインで動作せしめたものである。 30

#### 【0053】

このように、最大電力設定ライン601を供給可能上限電力1506, 1508に近接せしめたことは、誘導加熱のように回転発熱体104を直接加熱し熱逃げを少なくした加熱装置の構成では、その立ち上り速度は時間当たりの熱エネルギーで大きく変化するため、ファーストプリントタイムを大幅に改善する効果がある。

#### 【0054】

##### [第2の実施例]

図7は本発明第2の実施例を説明する概略構成図であり、前記第1の実施例と同一構成同一機能を有するものは同一番号を付し、重複説明は省略する。図8は本発明第2の実施例のソフトウェア制御構成説明するフローチャート図、図9は本発明第2の実施例で特徴とする最大電力制御原理を説明する励磁コイル120のインピーダンス特性のグラフ図である。 40

#### 【0055】

本発明第2の実施例において最も特徴とする点は、前記第1の実施例では、最大電力設定手段を基準電流値と帰還ゲインからなる固定定数設定手段で設定したのに対して、所定周波数条件における励磁電流値に応じて電力制御信号を設定する動的設定手段とした点にある。

#### 【0056】

以下、図7に従って説明する。801は発振制御部であり、電流ピーク検出回路129、 50

ドライバ 130、VCO 131、最大電力リミッタ 133 を有し前記第 1 の実施例同様、電流ピーク検出回路 129 で励磁電流波形よりピーク電流検出信号をエンジン制御部 802 の A/D コンバータ 805 に入力している。

#### 【0057】

エンジン制御部 802 は電力補正近似式演算プログラムをプログラム ROM 領域に搭載した CPU 135、インターフェースとしての D/A コンバータ、134、804、A/D コンバータ 141、805 を有し、8 ビットの分解能を有する D/A コンバータ 804 は、最大電力制御信号 807 を最大電力リミッタ 133 に入力している。前記電力補正近似式演算プログラム 803 は前記第 1 の実施例で使用した最大電力設定式を用いたものである。

10

#### 【0058】

以下、図 8 に沿って最大電力設定処理を説明する。

#### 【0059】

CPU 135 は温調制御の前に最大電力設定処理をスタートすると(901)、電力制御入力を 18H に設定する(902)。ここで、18H とは電力制御範囲を 8 ビットデータの 16 進表現で表示した値である。

#### 【0060】

通常より弱い電力制御入力を 18H(図 9 の 1004)なる 0N 時間の周波数でスイッチすると、励磁コイル 120 の電源電圧とインピーダンス特性(図 9 の 1001、1002、1003)より決まる励磁ピーク電流を測定する(903)。

20

#### 【0061】

CPU 135 はピーク検出電流より電源電圧 / ピーク電流係数を乗じて、その時の電源電圧を演算し(904)、さらに前記第 1 の実施例で使用した最大電力設定式よりもとめた最大電力制御信号値 / 電源電圧係数を乗じて最大電力制御信号設定値を演算し(905)、D/A コンバータ 804 より最大電力リミッタ 133 に最大電力制御信号 807 を出力する(906)。以降前記第 1 の実施例と同様に温調制御を行って最大電力を設定する(907)。

#### 【0062】

また、前記最大電力設定動作時には、定着非通紙状態で行う。前記制御により最大電力設定特性は、本発明第 1 の実施例における図 6 の最大電力設定特性と等価な特性を得たものである。

30

#### 【0063】

尚、本実施例の電力補正近似式演算プログラム 803 は説明簡素化のため、前記第 1 の実施例で使用した最大電力設定式を用いたが、実験的に求めた別の近似式であっても良い。

#### 【0064】

##### [第 3 の実施例]

図 10 は本発明第 3 の実施例を説明する概略構成図であり、前記第 1 及び第 2 の実施例と同一構成同一機能を有するものは同一番号を付し、重複説明は省略する。図 11 は本発明第 3 の実施例のソフトウェア制御構成を説明するフローチャート図、図 12 は本発明第 3 の実施例における 15A 定格コードの場合の供給可能電流上限での使用可能電力と最大電力制限特性の関係を説明する電源電圧 - 電力特性のグラフ図である。

40

#### 【0065】

本発明第 3 の実施例において前記第 2 の実施例と異なる点は、第 2 の実施例では最大電力設定手段は CPU 135 で生成した最大電力制御信号 807 を最大電力リミッタ 133 に入力し、電力制御信号を制限するハード制御手段により構成したのに対し、本発明第 3 の実施例では基準周波数による励磁電流検出値から最大電力設定値テーブルにより最大電力を求め温調制御における電力制御出力に直接比較し反映させる、純ソフト制御手段により構成したことにある。

#### 【0066】

以下にハード構成を図 10、ソフト構成を図 11 に沿って説明する。

50

## 【0067】

1101は、発振制御部であり、電流ピーク検出回路129、ドライバ130、VCO131を有し、エンジン制御部1102より電力制御信号1103を直接VCO131に供給している。

## 【0068】

エンジン制御部1102は、141A/D、D/Aコンバータ134、電力補正テーブル1104を有し、CPU135は温調制御の前に最大電力設定処理をスタートすると、電力制御入力を18Hに設定する(1201、1202)。

## 【0069】

電力制御信号を18Hしたことにより基準周波数でスイッチングしている励磁電流ピーク値を測定する(1203)。読み取った励磁電流ピーク値より最大電力設定値テーブル1104を参照し、最大電力を設定する(1204)。

## 【0070】

次に温調制御処理に移行し(1205)、サーミスタ温度と目標温度比較結果に基づく温調時電力制御値を前記最大電力設定値と比較し(1206)、温調時電力制御値が最大電力設定値未満となるNOの場合は、温調電力制御値を電力制御信号として出力し(1208)、最大電力設定値以上となるYESの場合は、最大電力設定値を電力制御信号として出力し(1207)、再び(1205)の処理に戻り(1206)～(1208)の処理を繰り返し判定するソフト制御手段を講じたものである。

## 【0071】

本発明第3の実施例が最も特徴とする点は、基準周波数のスイッチングによる最大電力の補正を最大電力設定値テーブル1104を用いて行ったことであり、このことにより電源電圧ごとの最大電力の設定を不連続に設定でき、図12の最大電力設定ライン1301に示すように、使用可能電力ギリギリまで定着電力として使用可能としたものである。最大電力リミッタをソフト的に実現しているため、安価に構成できるメリットがある。

## 【0072】

## [第4の実施例]

本発明第4の実施例は、前記第3の実施例の誘導加熱を行う発熱体を回転させて加熱処理を行うものであり、この第4の実施例の特徴として、基準周波数で駆動して最大電力を設定するときは、非通紙時に回転発熱体104の回転を停止させて行うよう制御手段を構成せしめたものである。この制御により、回転発熱体104の空回転による電力の浪費の防止及び寿命の延命を講じたものである。

## 【0073】

また、最大電力設定動作は回転発熱体104の温度をサーミスタ123により検出し、前記第3の実施例における電力補正テーブル1104に温度パラメータを追加し、温度検出値により電力補正テーブル1104を切り替えことにより、発熱体温度による励磁コイル負荷インピーダンスの変化の影響を補正し、温度による最大電力設定値の変化を抑制せしめたものである。

## 【0074】

## [第5の実施例]

図13は、用紙上に形成された未定着トナー画像を該用紙に加熱定着する加熱定着装置を、上記第1～第4の実施例のいずれかの誘導加熱装置を適用して構成した概要図を示すもので、11は定着ローラ(前記の回転発熱体104に対応する)で、鉄製の芯金シリンダに表面の離型性を高めるために例えばPTFEや、PFAの層を設けたものである。また定着ローラの他の材料として、例えば磁性ステンレスのような磁性材料(磁性金属)といった、比較的透磁率 $\mu$ が高く、適当な抵抗率 $\rho$ を持つ物を用いてもよい。さらに非磁性材料でも、金属などの導電性のある材料を薄膜にする事などにより使用可能である。

## 【0075】

12は定着ローラ11に用紙Pを直接もしくは間接的に密着させる加圧部材として加圧ローラで、鉄製の芯金12aの外周にSiゴムの層12bと定着ローラ11と同様に表面の

10

20

30

40

50

離型性を高めるために例えば PTFE や、 PFA の離型層 12c を設けている。

#### 【0076】

上記の定着ローラ 11 と加圧ローラ 12 は不図示の装置本体に回転自在に支持されており、定着ローラ 11 のみを駆動する構成になっている。加圧ローラ 12 は定着ローラ 11 の表面に圧接していて、回転部材あるいは圧接部（ニップ部）での摩擦力で従動回転する様に配置してある。また、加圧ローラ 12 は定着ローラ 11 の回転軸方向にバネなどを用いた図示しない機構によって加圧され圧接部幅（ニップ幅）が形成されている。15 は定着ローラ 11 の温度を検出する温度センサ（前記のサーミスタ 123 に相当する）。

#### 【0077】

搬送ガイド 17 は、図示しない画像形成手段により未定着のトナー画像 19 を形成され搬送される用紙を、定着ローラ 11 と加圧ローラ 12 とのニップ部へ案内する位置に配置される。分離爪 20 は、定着ローラ 11 の表面に当接して配置され、用紙 P がニップ部通過後に定着ローラ 11 に張り付いてしまった場合、強制的に分離してジャムを防止するためのものである。

#### 【0078】

なお、本実施例では加熱部材として定着ローラを用いているが、薄膜金属フィルムからなる構成を採用することも可能である。定着ローラ 11 の内部には、当該定着ローラ 11 に誘導電流（渦電流）を誘起させてジュール発熱させるために、高周波磁界を生じるコイルユニット 30 が配設されている。

#### 【0079】

コイルユニット 30 は、磁性材からなるコア 14（芯材に相当する）と、定着ローラ 11 に誘導電流を誘起させて加熱する誘導コイル 13（前記の励磁コイル 120 対応する）とを有する。コア 14 としては、透磁率が大きく自己損失の小さい材料がよく、例えばフェライト、パーマロイ、センダスト等が適している。

#### 【0080】

##### [その他の実施例]

以上説明した実施例はほんの一例であり、最大電力設定制御手段として線形性の点で有利な励磁電流のピーク値を用いたが、実効電流を検出しても良い。

#### 【0081】

##### 【発明の効果】

以上のように、本発明によれば、商用電源電圧が異なる地域で使用しても、電源電圧を直接検知せずに誘導加熱装置に対する安全規格上の供給可能電力上限値に近い電力を供給するので、低コストで立ち上げ速度の速い複数の地域で利用できる誘導加熱装置を提供できる。

##### 【図面の簡単な説明】

【図 1】 本発明第 1 の実施例の概略構成を説明する概略構成図。

【図 2】 本発明第 1 の実施例の最大電力設定回路を説明する回路図。

【図 3】 本発明第 1 の実施例における電力制御動作を説明する波形図。

【図 4】 本発明第 1 の実施例における最大電力制限特性を説明する電圧 - 電力特性のグラフ図。

【図 5】 本発明第 1 の実施例における最大電力制限特性を説明する電力制御入力 - 励磁ピーク電流特性のグラフ図。

【図 6】 本発明第 1 の実施例における 15 A 定格での使用可能電源電流と最大電力制限特性の関係を説明する電源電圧 - 電力特性のグラフ図。

【図 7】 本発明第 2 の実施例を説明する概略構成図。

【図 8】 本発明第 2 の実施例のソフトウェア制御構成説明するフローチャート図。

【図 9】 本発明第 2 の実施例最大電力制御原理を説明する励磁コイルのインピーダンス特性のグラフ図。

【図 10】 本発明第 3 の実施例を説明する概略構成図。

【図 11】 本発明第 3 の実施例のソフトウェア制御構成説明するフローチャート図。

10

20

30

40

50

【図12】 本発明第3の実施例における15A定格での使用可能電力と最大電力制限特性の関係を説明する電源電圧・電力特性のグラフ図。

【図13】 本発明第4の実施例としての加熱定着装置の概要図である。

【図14】 従来例における15A定格での使用可能電源電流と最大電力制限特性の関係を説明する電源電圧・電力特性のグラフ図。

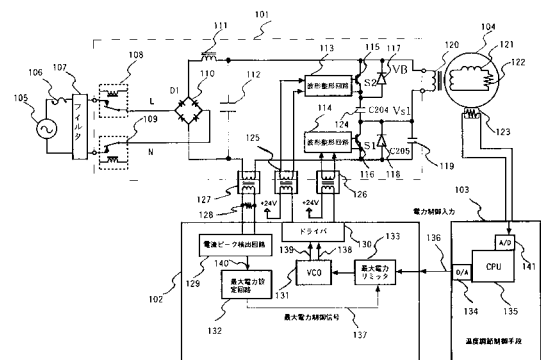
【符号の説明】

101	一次回路部	
102	発振制御部	
103	エンジン制御部	
104	回転加熱体	10
105	商用電源	
106	安全ヒューズ	
107	ラインフィルタ	
108	安全回路リレー1	
109	安全回路リレー2	
110	ブリッジダイオード	
111	チョークコイル	
112	平滑コンデンサ	
113	波形成型回路2	
114	波形成型回路1	20
115	サブスイッチ	
116	メインスイッチ	
117	ボディダイオード2	
118	ボディダイオード1	
119	メイン共振コンデンサ	
120	励磁コイル	
121	等価インダクタンス	
122	発熱体等価抵抗	
123	サーミスター	
124	サブ共振コンデンサ	30
125	パルストラns2	
126	パルストラns1	
127	カレントトランス(励磁電流検出手段)	
128	カレントトランス負荷抵抗	
129	電流ピーク検出回路	
130	ドライバ	
131	VCO	
132	最大電力設定回路	
133	最大電力リミッタ	
134	D/Aコンバータ	40
135	CPU(基準周波数電力補正制御手段、温度制御手段、テーブル制御手段)	
136	電力制御信号	
137	最大電力制御信号	
138	メイン励磁信号	
139	サブ励磁信号	
140	ピーク電流検出信号	
141	A/Dコンバータ	
201	入力抵抗	
202	入力抵抗	
203	オペアンプ	50

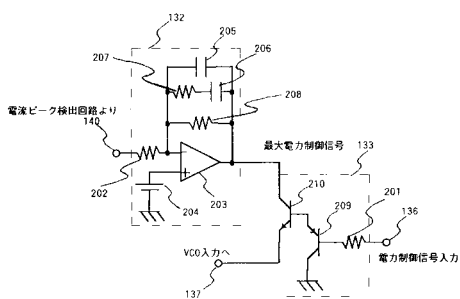
2 0 4	基準電圧	
2 0 5	帰還コンデンサ	
2 0 6	コンデンサ	
2 0 7	抵抗	
2 0 8	帰還抵抗	
2 0 9	入力トランジスタ	
2 1 0	出力トランジスタ	
3 0 1	絞込み時動作波形	
3 0 2	最大出力時動作波形	
3 0 3	絞込み時 IGBT 1 ゲート電圧波形	10
3 0 4	絞込み時 IGBT 2 ゲート電圧波形	
3 0 5	絞込み時 IGBT 1 ソース電流波形	
3 0 6	絞込み時 IGBT 1 ソース電圧波形	
3 0 7	最大出力時 IGBT 1 ゲート電圧波形	
3 0 8	最大出力時 IGBT 2 ゲート電圧波形	
3 0 9	最大出力時 IGBT 1 ソース電流波形	
3 1 0	最大出力時 IGBT 1 ソース電圧波形	
3 1 1	絞込み時動作時周期	
3 1 2	絞込み時 ON 時間	
3 1 3	絞込み時 OFF 時間	20
3 1 4	デッドタイム	
3 1 5	絞込み時ピークレベル	
3 1 6	最大出力時動作時周期	
3 1 7	最大出力時 ON 時間	
3 1 8	最大出力時 OFF 時間	
3 1 9	最大出力時ピークレベル	
4 0 1	無制御電圧電力特性	
4 0 2	制御電圧電力特性	
4 0 3	最大電圧時電力	
4 0 4	標準電圧時電力	30
4 0 5	最小電圧時電力	
5 0 1	最大電圧時電力特性	
5 0 2	標準電圧時電力特性	
5 0 3	最小電圧時電力特性	
5 0 4	リミッタ動作点 A	
5 0 5	リミッタ動作点 B	
5 0 6	リミッタ動作点 C	
5 0 7	従来定電力特性	
5 0 8	本発明電力特性	
5 0 9	原点	40
6 0 1	最大電力設定値特性	
8 0 1	発振制御部	
8 0 2	エンジン制御部	
8 0 3	電力補正近似式演算プログラム (ROM)	
8 0 4	D/A コンバータ	
8 0 5	A/D コンバータ	
8 0 6	ピーク電流検出信号	
8 0 7	最大電力制御信号	
9 0 1	最大電力設定処理 STEP 1	
9 0 2	最大電力設定処理 STEP 2	50

9 0 3	最大電力設定処理	S T E P 3	
9 0 4	最大電力設定処理	S T E P 4	
9 0 5	最大電力設定処理	S T E P 5	
9 0 6	最大電力設定処理	S T E P 6	
9 0 7	最大電力設定処理	S T E P 7	
1 0 0 1	動作電圧上限値インピーダンス特性		
1 0 0 2	動作電圧標準値インピーダンス特性		
1 0 0 3	動作電圧下限値インピーダンス特性		
1 0 0 4	最大電力設定基準周波数		
1 0 0 5	動作電圧上限時検出電流		10
1 0 0 6	動作電圧標準時検出電流		
1 0 0 7	動作電圧下限時検出電流		
1 1 0 1	発振制御部		
1 1 0 2	エンジン制御部		
1 1 0 3	電力制御信号		
1 1 0 4	最大電力設定値テーブル		
最大電力設定処理	S T E P 1		
最大電力設定処理	S T E P 2		
最大電力設定処理	S T E P 3		
最大電力設定処理	S T E P 4		20
最大電力設定処理	S T E P 5		
最大電力設定処理	S T E P 6		
最大電力設定処理	S T E P 7		
最大電力設定処理	S T E P 8		
1 3 0 1	最大電力設定ライン		
1 5 0 1	電圧対電流上限値グラフ		
1 5 0 2	電圧対電力上限値グラフ		
1 5 0 3	国内上限電流		
1 5 0 4	U L 上限電流		
1 5 0 5	国内上限電力		30
1 5 0 6	国内定着電源上限電力		
1 5 0 7	U L 上限電力		
1 5 0 8	U L 定着電源上限電力		

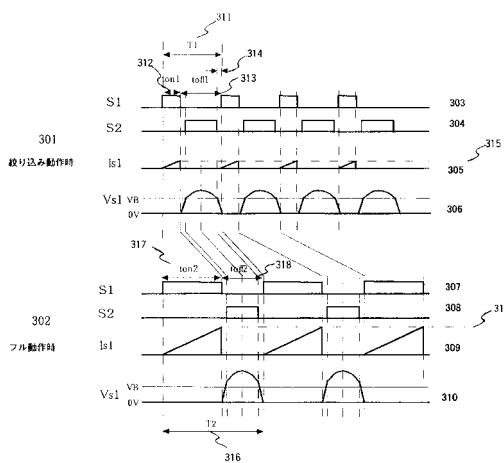
【図1】



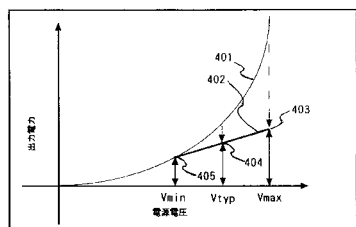
【図2】



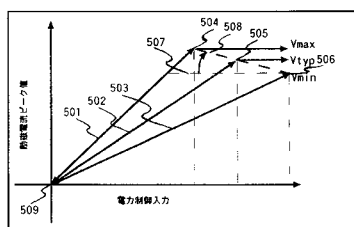
【図3】



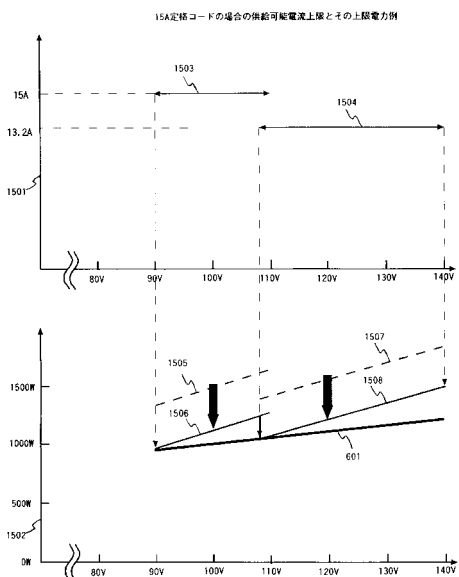
【図4】



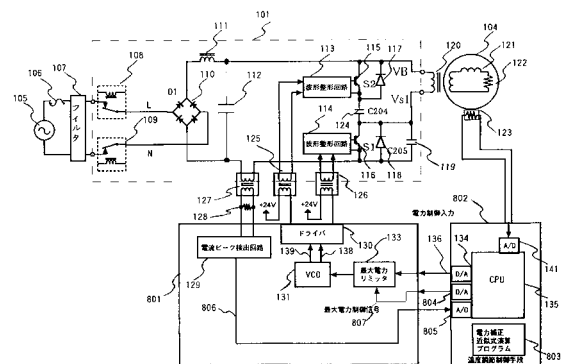
【図5】



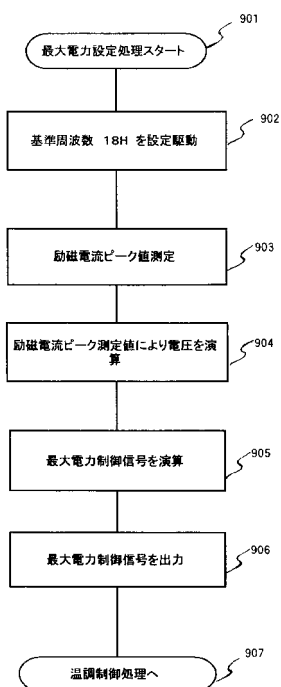
【図6】



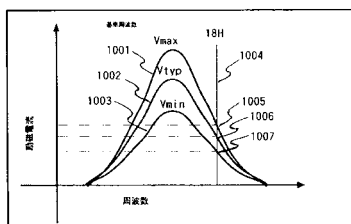
【図7】



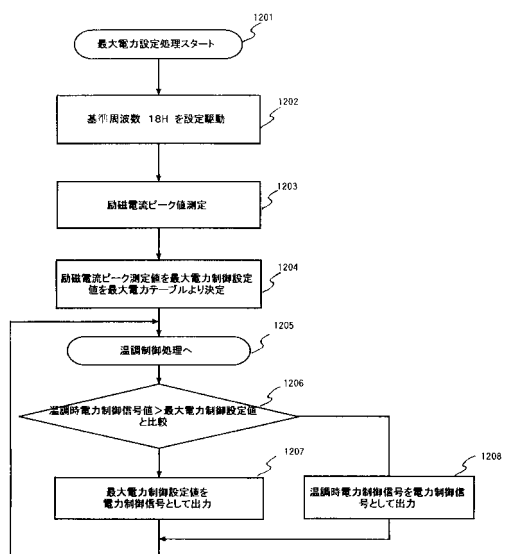
【 四 8 】



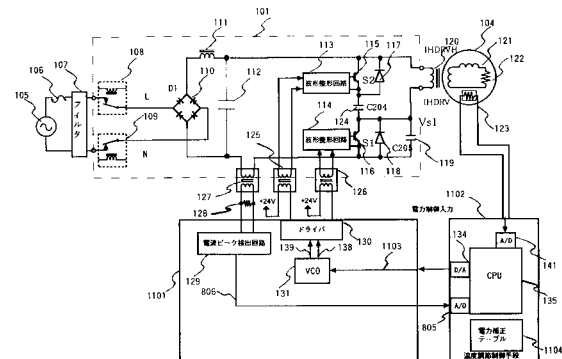
【図9】



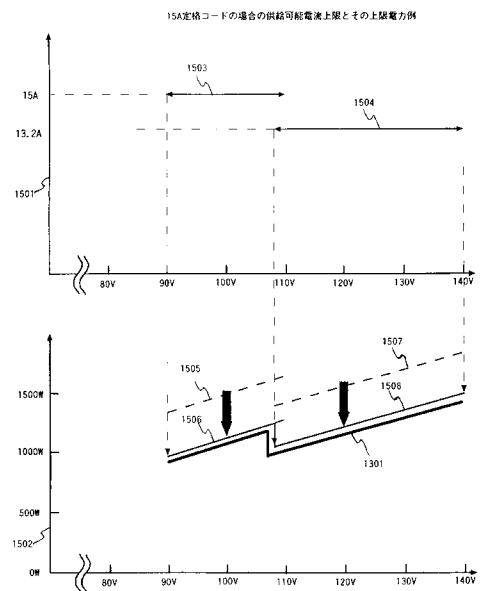
【図11】



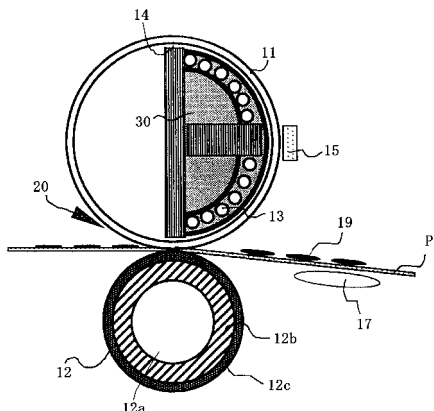
【図10】



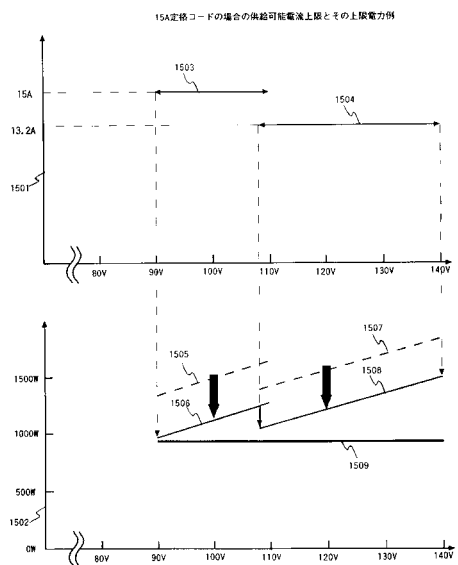
【図12】



【図13】



【図14】



---

フロントページの続き

(51)Int.Cl.

F I

H 0 5 B 6/14

- (56)参考文献 特開2001-318547(JP,A)  
特開2000-354331(JP,A)  
特開2001-043964(JP,A)  
特開平11-126678(JP,A)  
特開平10-105254(JP,A)  
国際公開第01/048560(WO,A1)  
特開2000-293059(JP,A)  
特開2001-267058(JP,A)  
特開平10-301442(JP,A)  
特開平09-120221(JP,A)  
特開平04-112484(JP,A)

(58)調査した分野(Int.Cl., DB名)

H05B 6/06

G03G 15/20

H05B 6/14